

Širokolinjska oblast kod AGJ: veza sa radio-mlazevima

Dragana Ilić

Katedra za astronomiju, Matematički fakultet

u saradnji sa

Jonathan León-Tavares, Andrei Lobanov
(Max-Planck Institute for Radioastronomy, Bonn, Germany)

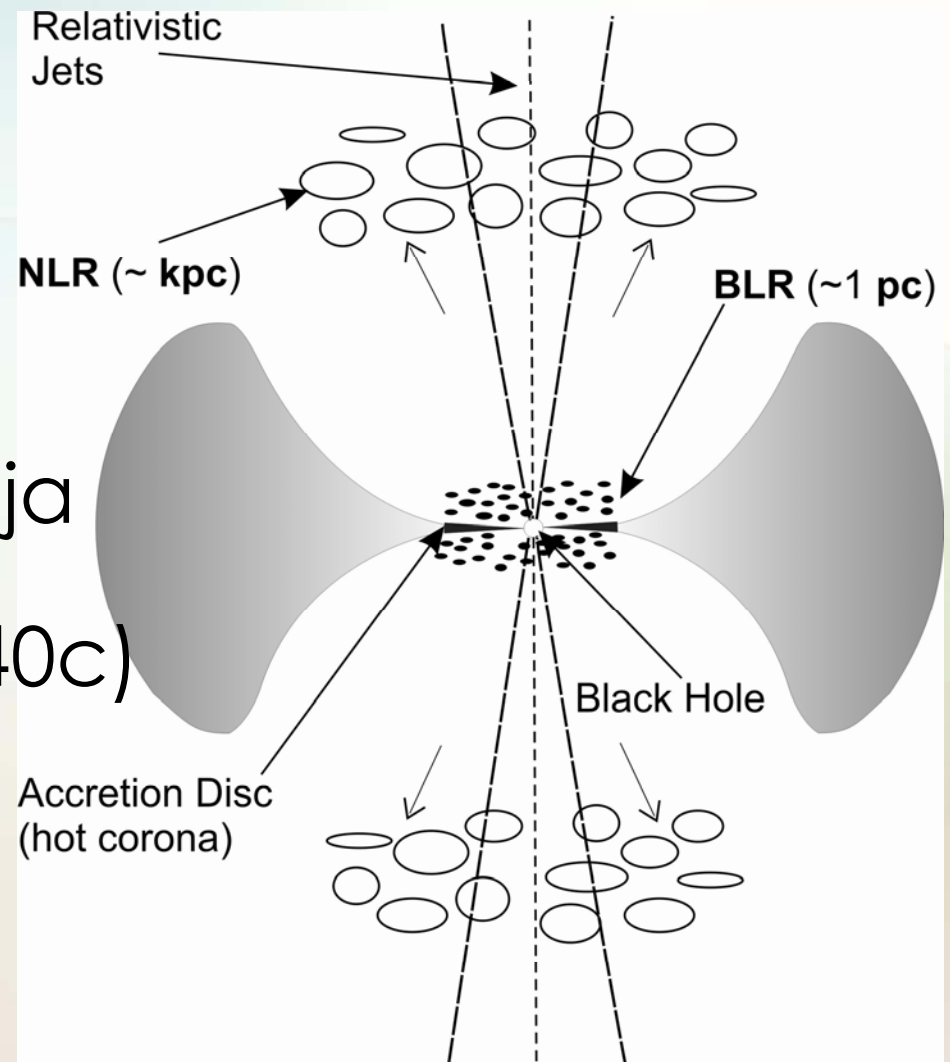
Luka Č. Popović
(AOB)

Plan predavanja

- AGJ
 - oblasti emisije linija
- Širokolinijska oblast
 - fizika
 - kinematika & struktura
- Veza između radio i optičke emisije:
 - 3c390.3
 - NGC 4151
 - Mrk 668

Aktivna Galaktička Jezgra

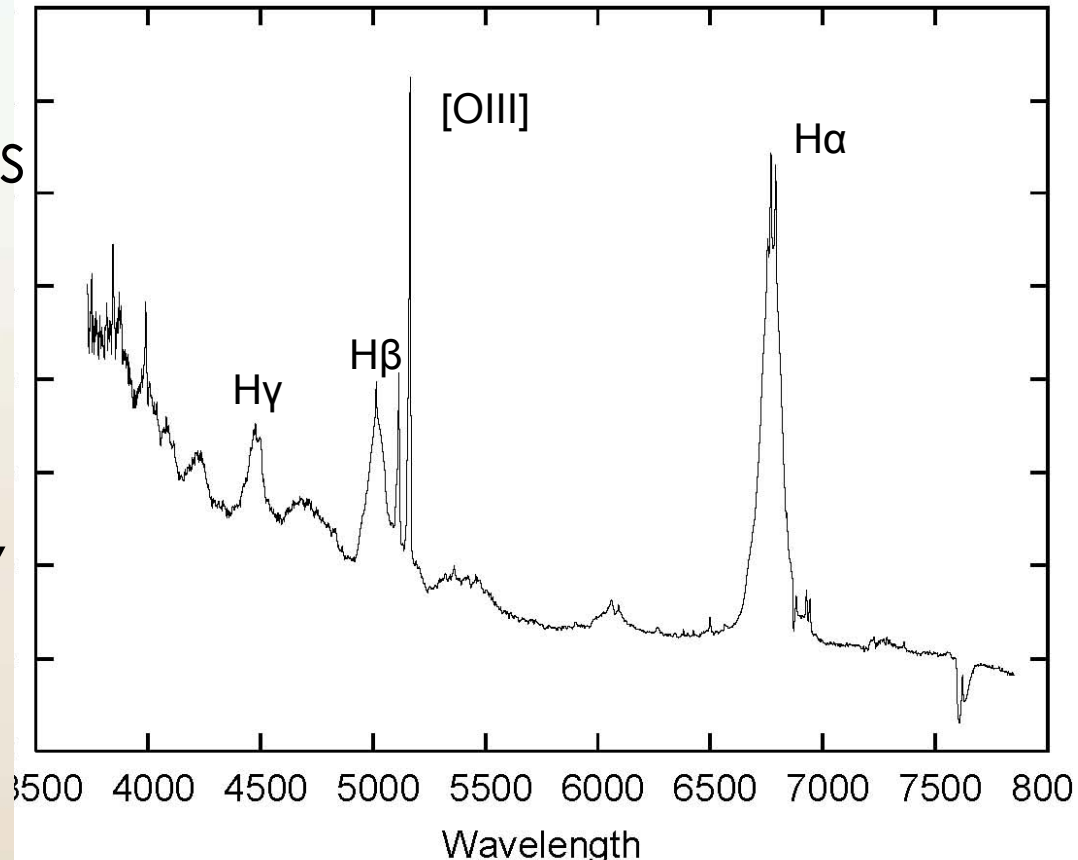
- velika luminoznost
- male dimenzije
- širok kontinuum
- promenljivost; polarizacija
- radio-mlazevi ($\beta_{app} \sim 10-40c$)
- jake emisione linije
- mnogo različitih tipova
- AGJ fenomen – svuda prisutan!



Emisione Linije (EL)

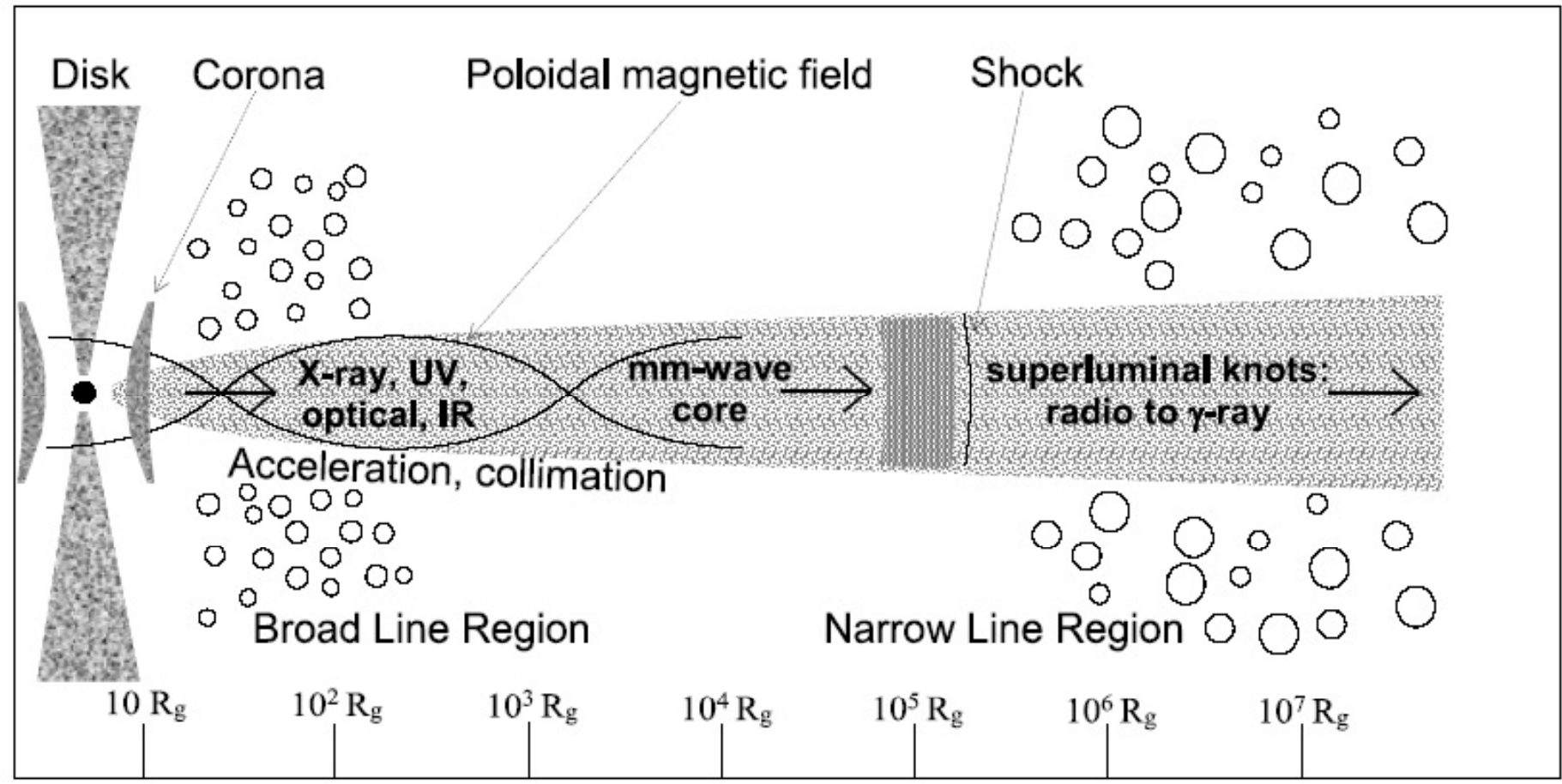
- Široke Emisione Linije (BEL) – samo dozvoljene
 - FWHM \sim 2000 - 5000 km/s
(ali u X-domenu FeKa linija \sim par 10000 km/s)
- Uske Emisione Linije (NEL) - dozvoljene & zabranjene
 - FWHM \sim 200 - 700 km/s

Balmerove linije kod Mrk 817



AGJ struktura

Akrecioni disk/korona – oblasti emisije linija - džetovi



(Lobanov 2007; Marscher 2005)

Šta nam govore EL?

- Fizički uslovi u oblasti
 - temperatura
 - koncentracija
 - stepen jonizacije
- Kinematika oblasti
 - brzine (širine linija)
 - dimenzije (reverberacija – kašnjenje)
 - geometrija (oblici linija)

Šta nam govore EL?

- Masa crne rupe M_{BH} :

teorema virijala + reverberacija ($L \sim R_{BLR}^{-k}$)

$\Rightarrow M_{BH}$ iz luminoznosti (R_{BLR}) & FWHM

(Wandel et al. 1999; Kaspi et al. 2000, 2005)

$$M_{BH} = const \cdot L_\nu^k \cdot FWHM^2$$

- $k = 0.50 - 0.88$ (0.5 – fotojoniz. teorija)

(pregledni članak McGill et al. 2008)

- **Problem:** inklinacija (donja granica FWHM $\rightarrow M_{BH}$)!

Širokolinjska oblast – BLR

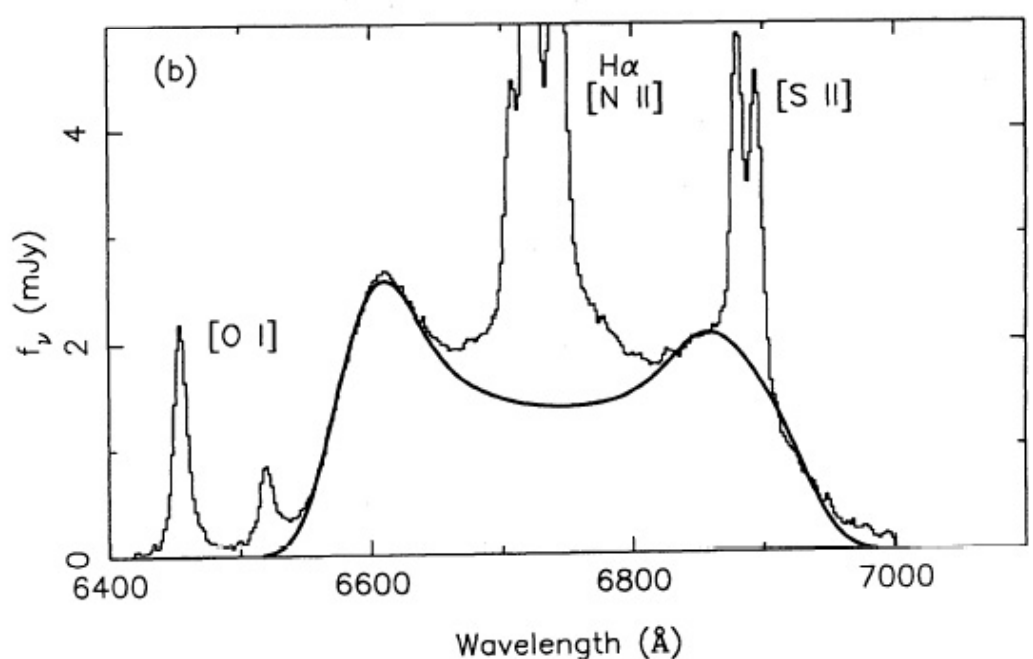
- fotojonizacija (glavni izvor zagrevanja?)
- pod uticajem jake gravitacije
- ionizacioni parametar $U \sim 10^{-3} - 10^{-2}$
- $T_e \sim 10^4 \text{ K}$ $N_e \sim 10^9 - 10^{12} \text{ cm}^{-3}$
- plazma je sličnija zvezdanim atmosferama nego fotojonizacionim maglinama (Osterbrock 1989)

- dimenzije ~ od sv.dan do sv.nedelja
- kompleksni profili linija (velike širine; linije sa dva pika; asimetrija) => kompleksna i stratifikovana oblast
- najmanje dve odvojene emitujuće oblasti (Murray & Chiang 1997; Sulentic et al. 2000):
 - High Ionization Lines ([HIL](#)) – CIV 1549, Hell 4686, Hell 1640
 - Low Ionization Lines ([LIL](#)) – Balmerove linije, Fell linije, MgII 2800

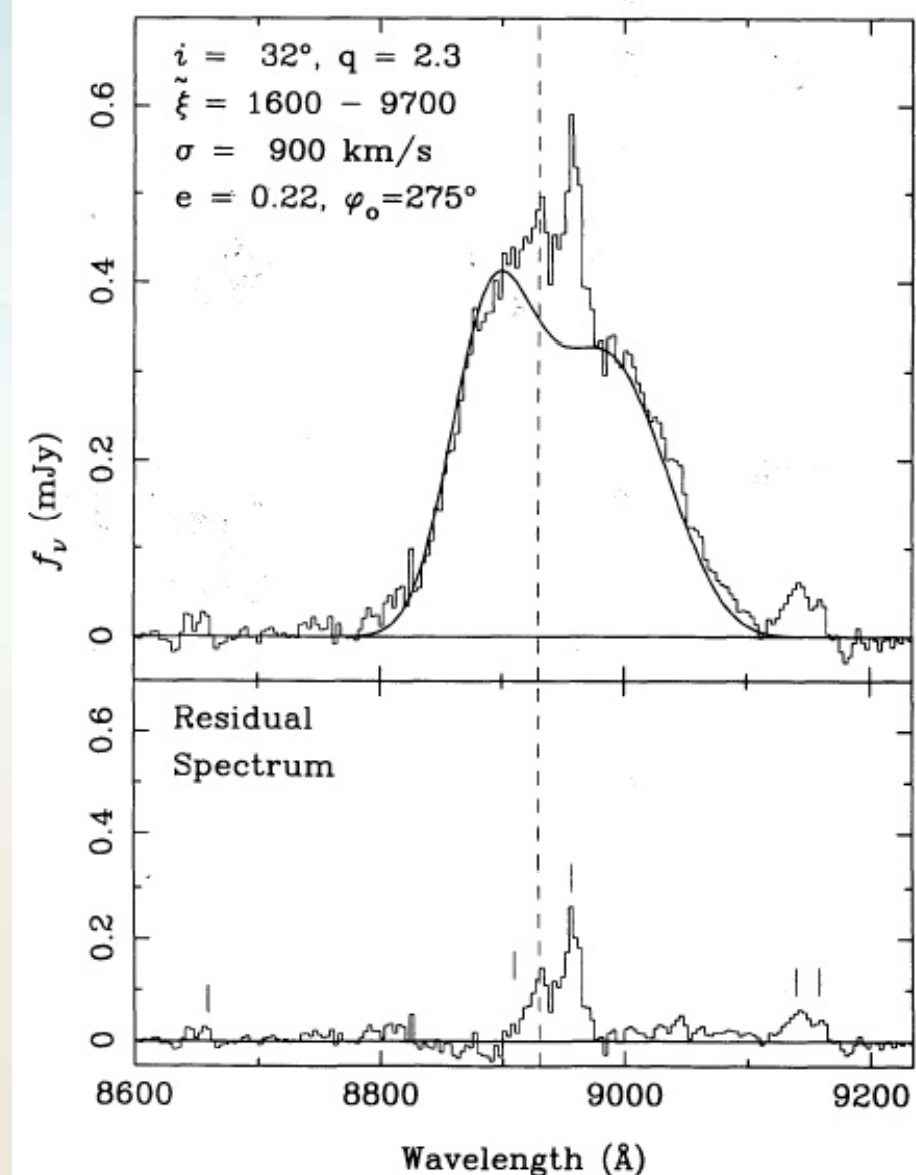
BLR - geometrija

- **Dvojna supermasivna crna rupa**
(Gaskell 1983, 1996)
- **Konusno izbacivanje materije**
(Zheng et al. 1990; Marziani et al. 1996)
- **Akrecioni disk**
(Chen et al. 1989; Eracleous et Halpern 1994; Strateva et al. 2003)
- **Akrecioni disk + vetrar**
(Murray & Chiang 1995, 1997)
- **Lokalno-optimalno emitujući oblaci gasa**
(Baldwin et al. 1995; Korista & Goad 2000)
- **Dvo-komponentni model: disk + sferna oblast**
(Popović et al. 2002, 2003, 2004)

Linije sa dva pika



Akn 120 (Chen et al. 1989)
Keplerovski disk

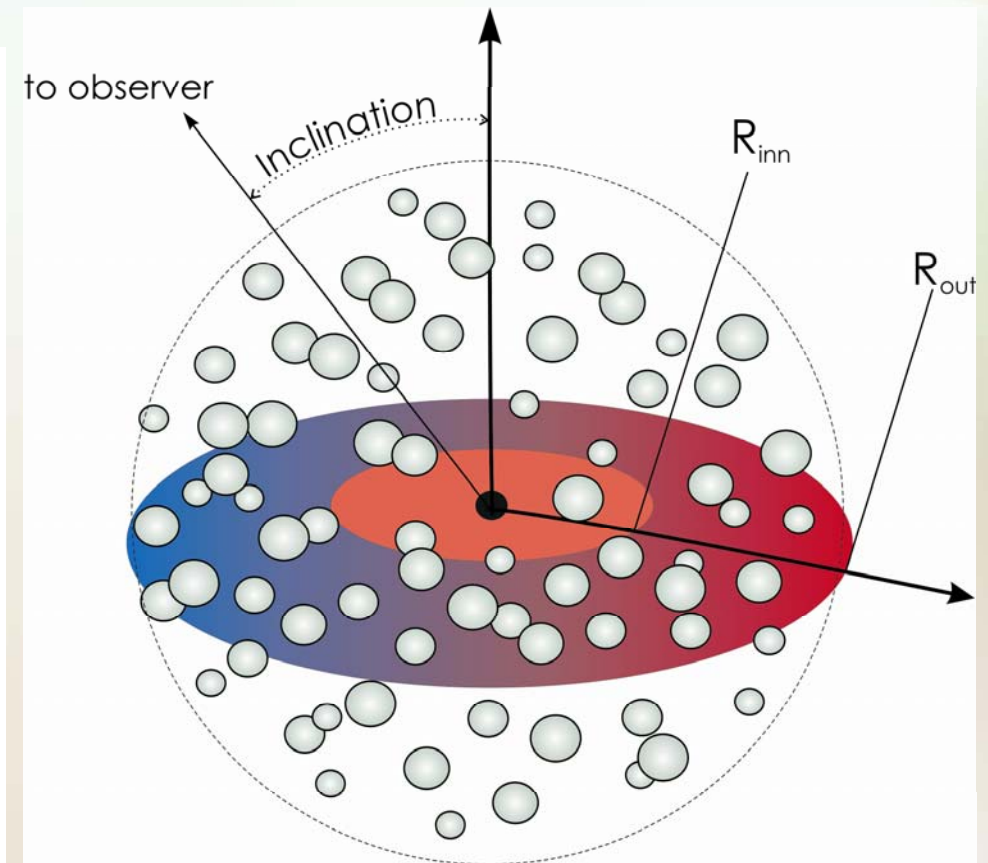
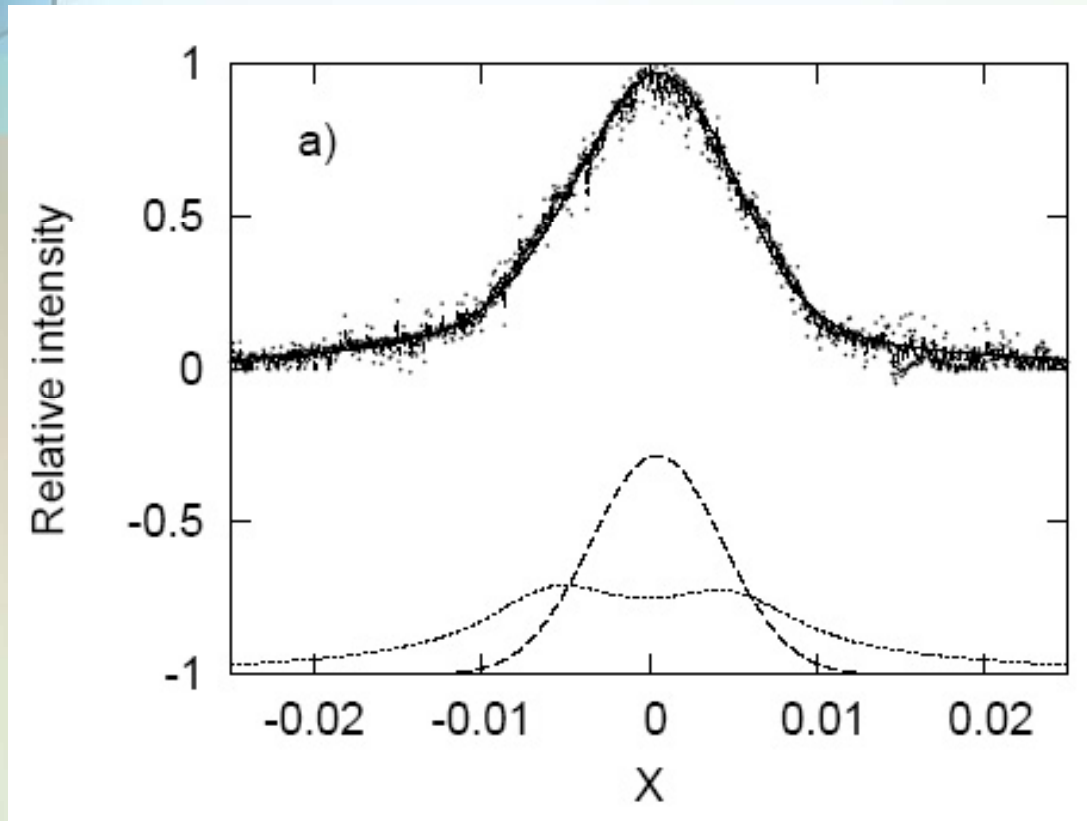


PKS 0857-19 (Eracleous et al. 1995)
Eliptični disk

Linije sa jednim pikom

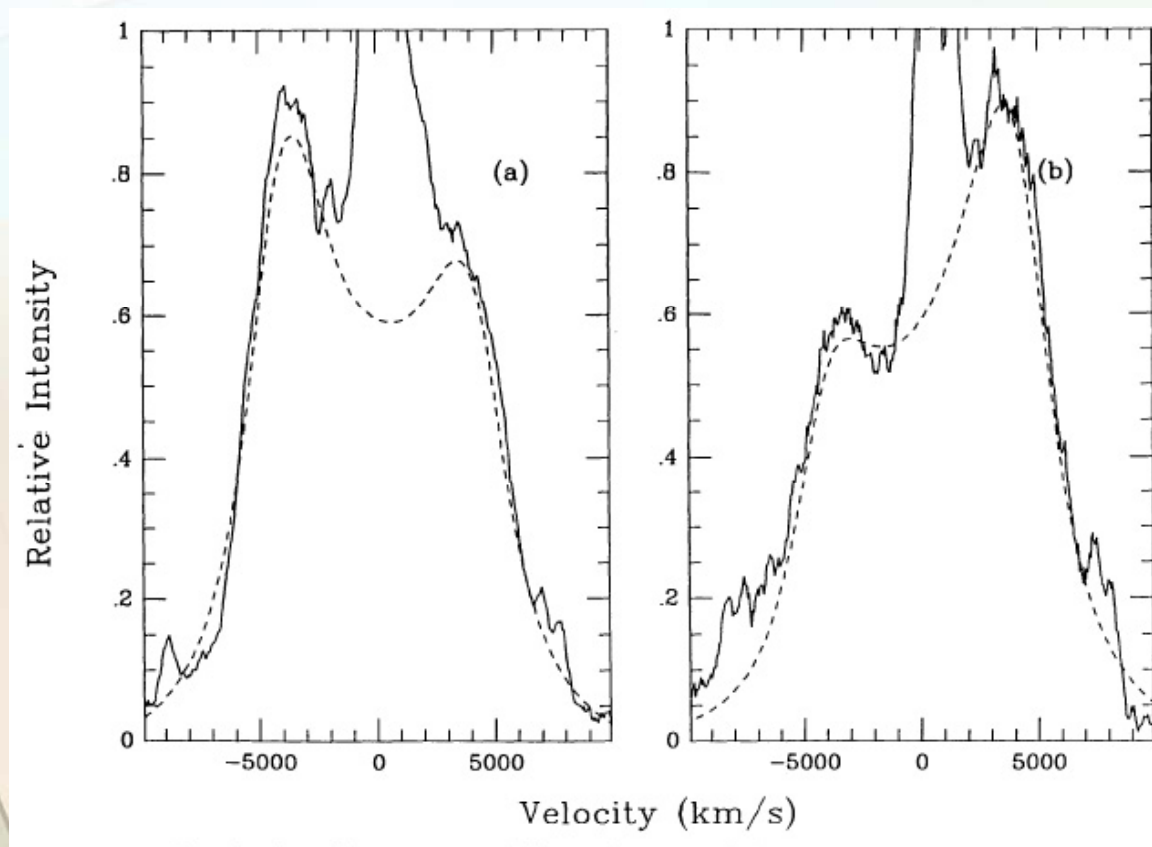
- Keplerovski disk + sferna obast

(Popović et al. 2004; Ilić et al. 2006; Bon et al. 2006)



Izbacivanja u BLR

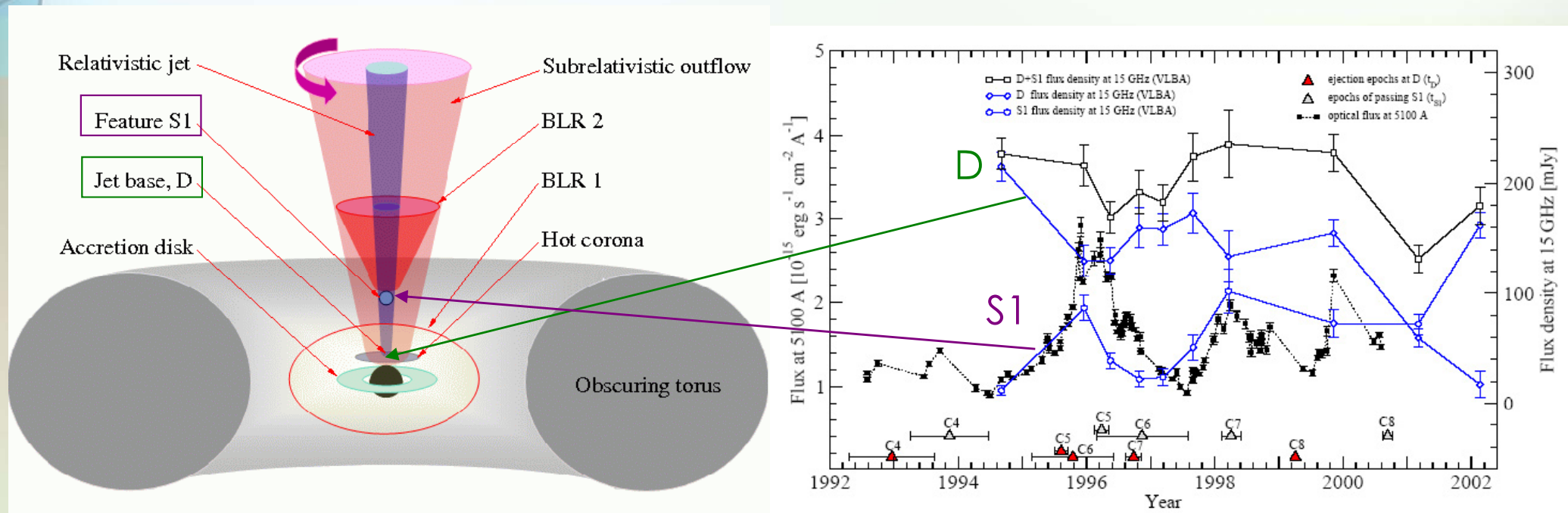
- Konusno izbacivanje (Zheng et al. 1990, 1991)
- Izbacivanje oblaka (pod uticajem pritiska zračenja) (Marziani et al. 1993)



3c390.3
(Zheng et al. 1990)

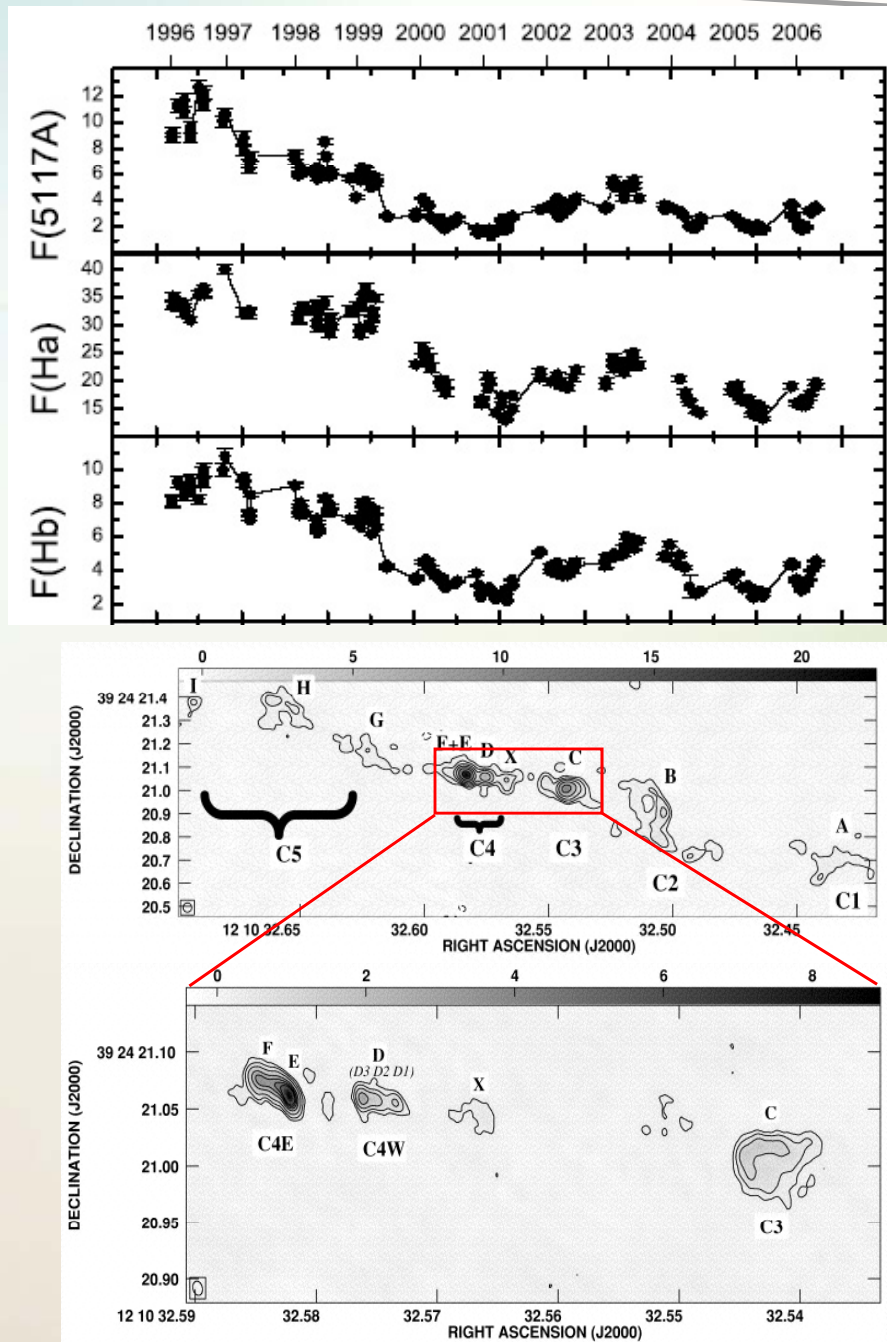
Primer 3c 390.3

- emisija optičkog kontinuuma na 5100 Å prati emisiju radio-komponenti D & S1 u radio-mlazu
- (Arshakian et al. 2006; León-Tavares et al. 2007)

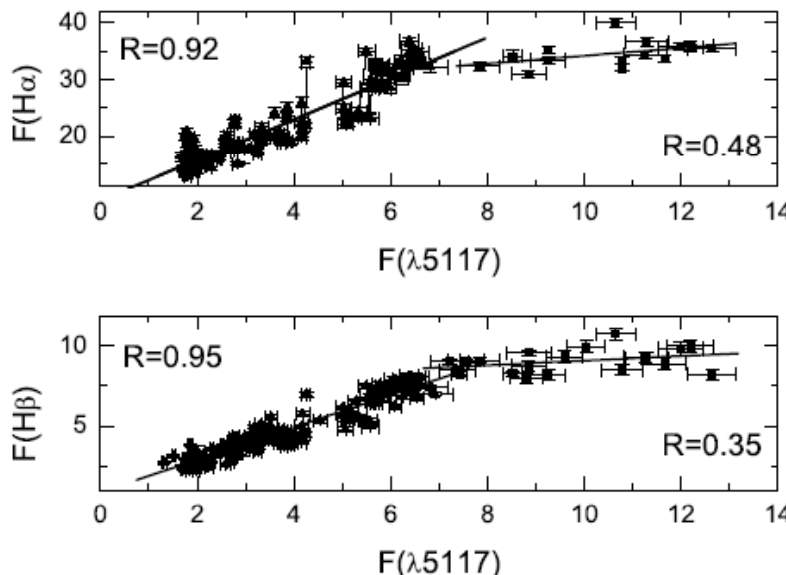


NGC 4151

- jako promenljiv izvor u optičkom kontinuumu & emisionim linijama (Peterson 1988; Sergeev et al. 2001)
- posmatrana 11 godina (1996-2006) sa:
 - 6-m & 1-m SAO teleskopi (Rusija)
 - GHAO 2.1-m teleskop (Cananea, Meksiko)
 - OAN-SPM 2.1-m teleskop (San-Pedro, Meksiko)
- BLR vrlo malih dimenzija $\sim 0 - 2$ sv.dana
(Shapovalova et al. 2008 poslato u A&A)
- posmatran radio-mlaz dimenzija parseka (Mundell et al. 2003; Ulvestad et al 2005)



NGC 4151

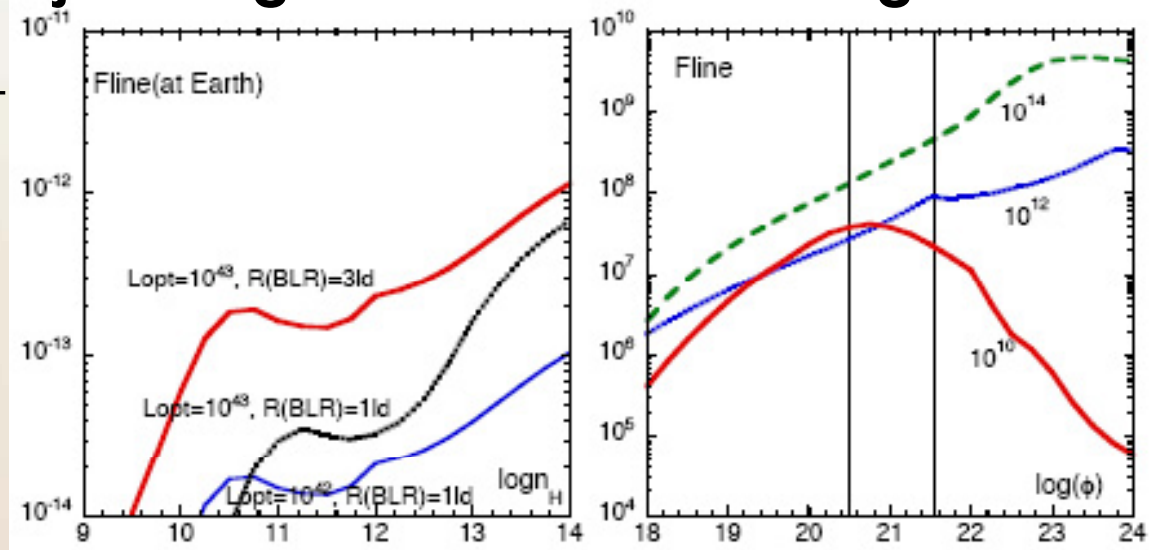


zasićenje fluksa linija u slučaju jakog kontinuuma

$$F_{\text{obs}}(H\beta) = (2.3-9.8) \times 10^{-12} \text{ erg cm}^{-2}\text{s}^{-1}$$

- izračunat odgovor fluksa u linijama na promene u kontinuumu uz pomoć fotojonizacionog modela => **posmatrani fluks u linijama je mnogo veći od izračunatog!**
- ne-fotojonizaciona oblast doprinosi širokim linijama (možda je povezana sa radio-mlazom)

(Shapovalova et al.
2008, poslato u A&A)



Fluks linija vs. koncentracija (levo) i ionizacioni fluks (desno)

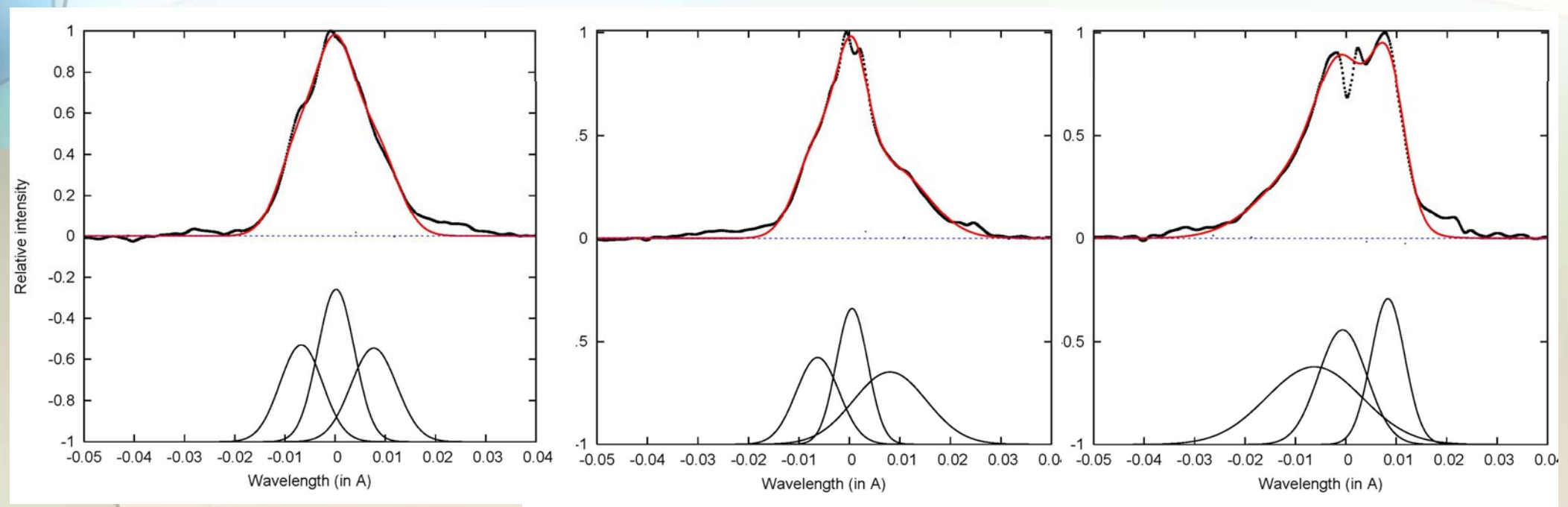
NGC 4151

- profili široke komponente se jako menjaju

Jun 1998

Jan 2001

Feb 2006



(Popović et al. u pripremi)

Model izbacivanja materije

- izbacivanje – ubrzavanje do Ra, a zatim brzina opada
- gravitacioni crveni pomak
- funkcija emisivnosti →

$$\varepsilon(r) = \varepsilon_0 \left(\frac{R_e}{r} \right)^p$$

-
- intenzitet duž profila linije:

$$I(\lambda) = \frac{1}{R_0 - R_i} \int_{R_i}^{R_0} \varepsilon(r) \cdot \exp\left(-\left(\frac{\lambda - \lambda_0 - \Delta\lambda_r(r) - \Delta\lambda_g(r)}{w(r)}\right)^2\right) dr$$

Polje brzina

Radijalna

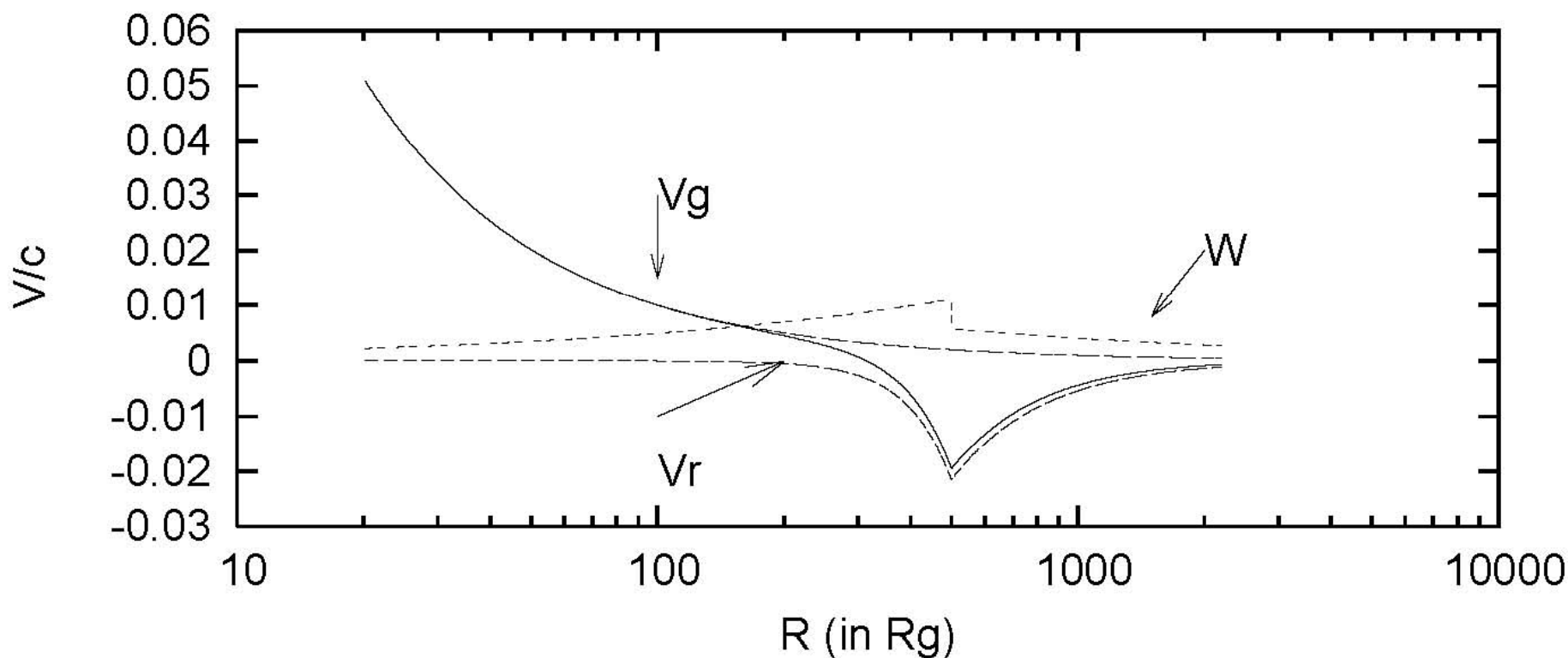
$$V_r = \frac{\Delta\lambda(r)}{\lambda_0} c$$

Slučajna

$$w(r) = \frac{V_{ran}(r)}{c} \lambda_0$$

Gravitaciona

$$V_g = \frac{\Delta\lambda_g(r)}{\lambda_0} \cdot c = \left(-1 + \sqrt{1 - \frac{2}{r}} \right) \cdot c$$

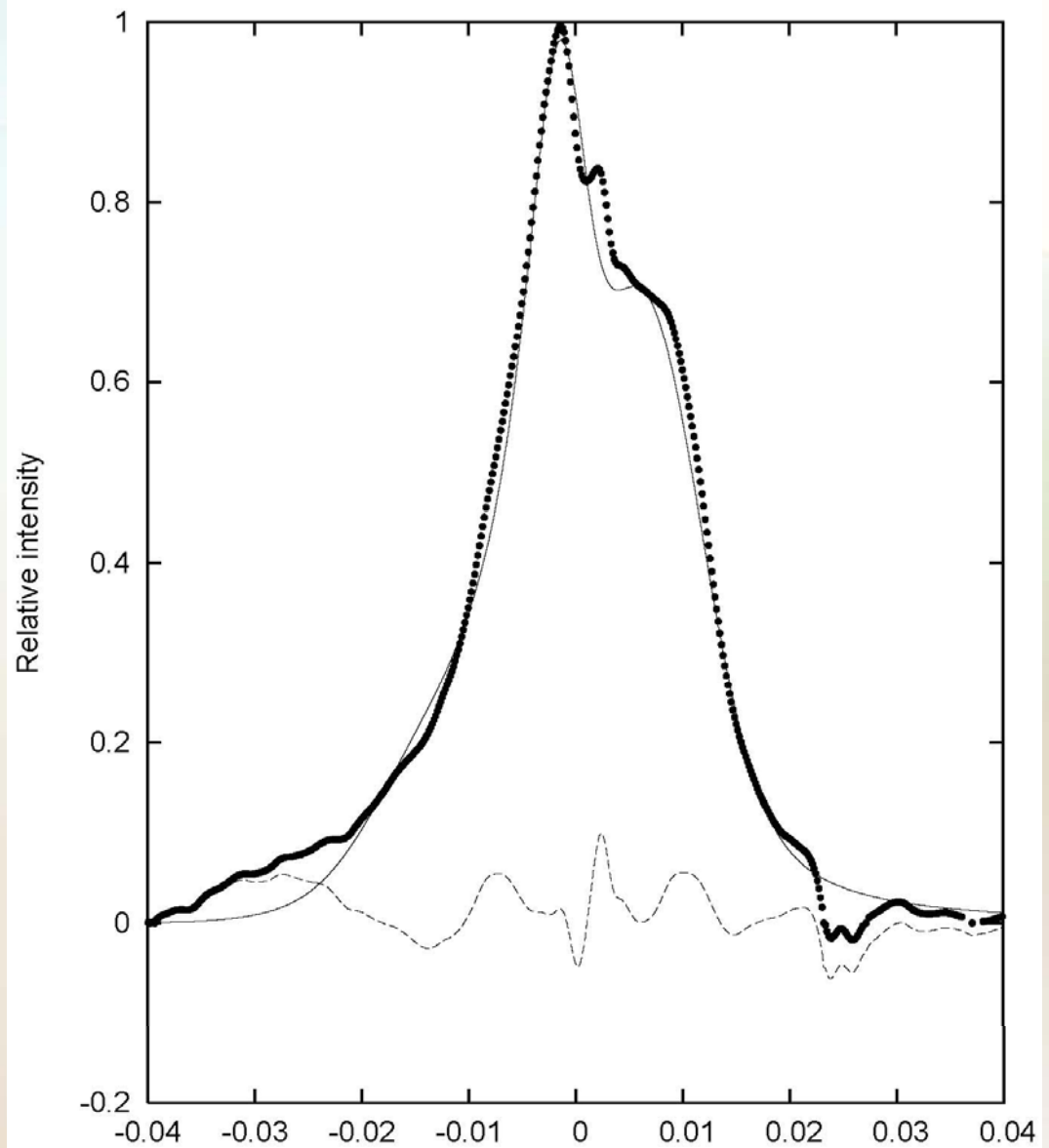


NGC 4151

- Ha linija iz 3. perioda
 - model (puna linija)
 - posmatranja (tačkice)

- Parametri modela:
 $R_{inn}=20 R_g$; $R_{out}=2200 R_g$;
 $R_a=500 R_g$; $R_e=260 R_g$;
 $W_0/\lambda=0.008$

(Popović et al.
u pripremi)



Mrk 668

- širokolinijska radio-galaksija
- jako specifični oblici širokih linija
(Osterbrock & Cohen 1979)
- pomeranje crvenog pika u H_α liniji
- BLR modelirano sa:
 - sferna oblast + konusno izbacivanje
(Marzian et al 1993)
 - eliptični akrecioni disk + perturbacija
(Gezari et al. 2007)

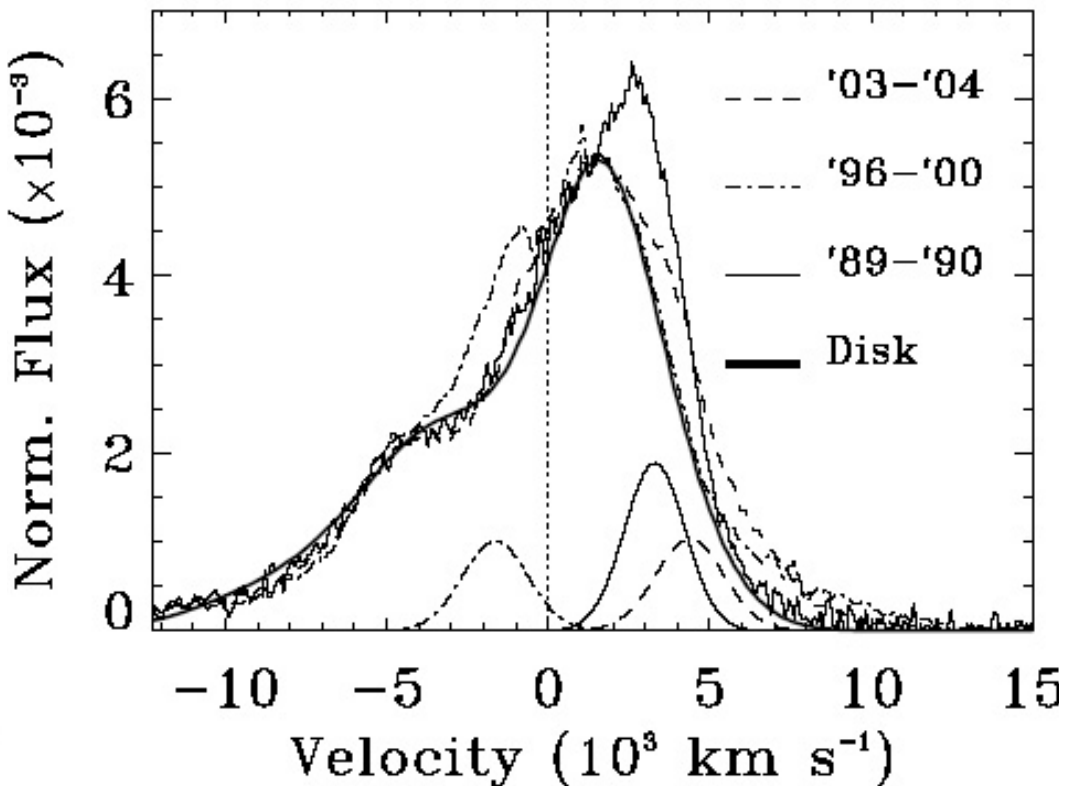
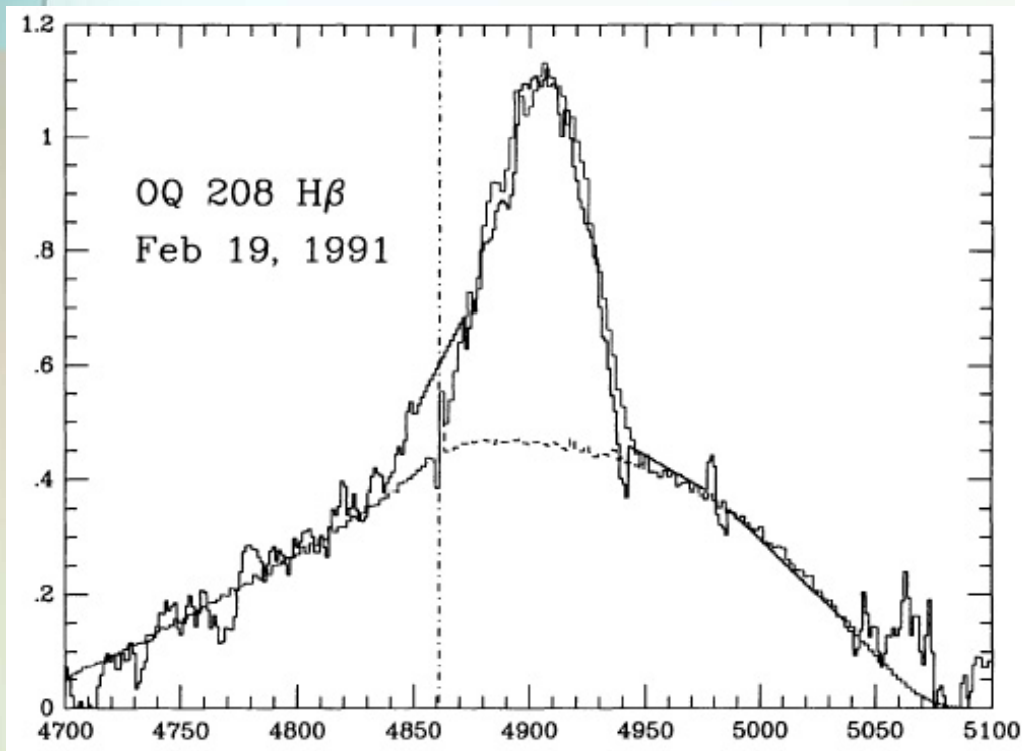
Mrk 668 - BLR modeli

- Marziani et al. 1993

krila linije-sferno raspoređeni oblaci;
uska ljeska u obliku mlaza:
 $i=0^\circ\text{--}30^\circ$; $\Theta_0=12^\circ$; $R_{\min}=10^4 R_g$; $R_{\max}=10^5 R_g$
(emisija gausijan - max na $R=R_{\min}$ i
širina $2\sigma^2=0.181 R_{\min}^2$)

- Gezari et al. 2007

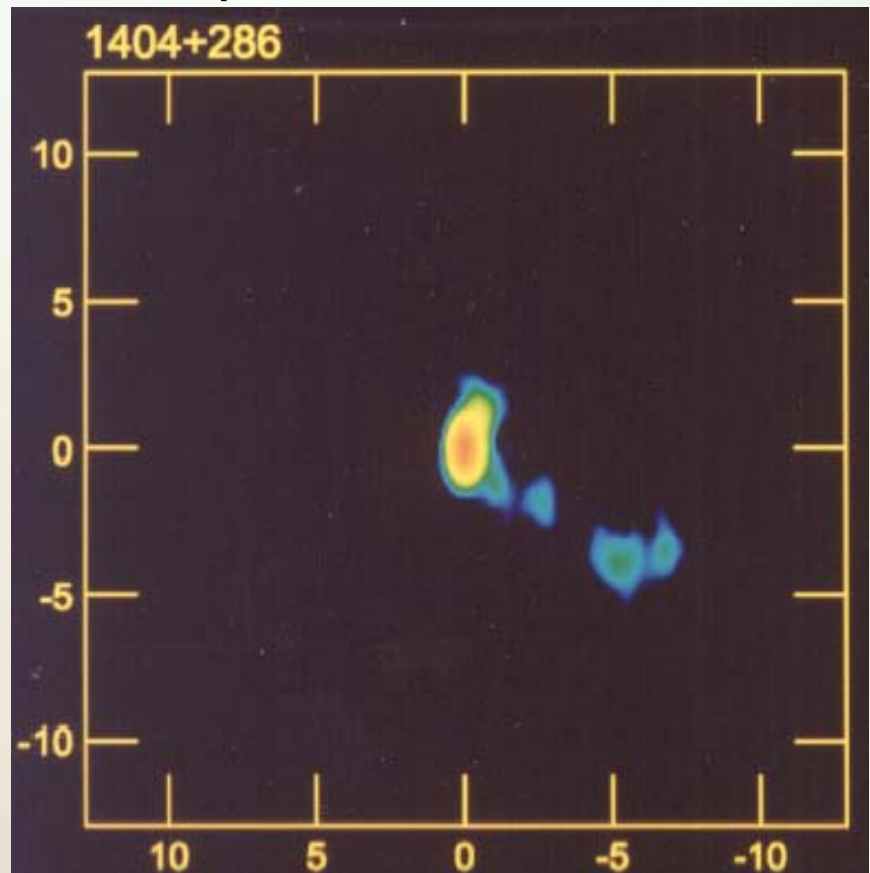
ekscentrični disk (ne varira):
 $i=35^\circ$; $\xi_i=200$; $\xi_o=3000$; $q=1.7$;
 $\sigma=1500 \text{ km/s}$; $e=0.6$; $\phi=60^\circ$
gausovski eksces:
 $z \sim [-1800, +4400] \text{ km/s}$; $w \sim 2000 \text{ km/s}$



OQ208 (J1404+286)

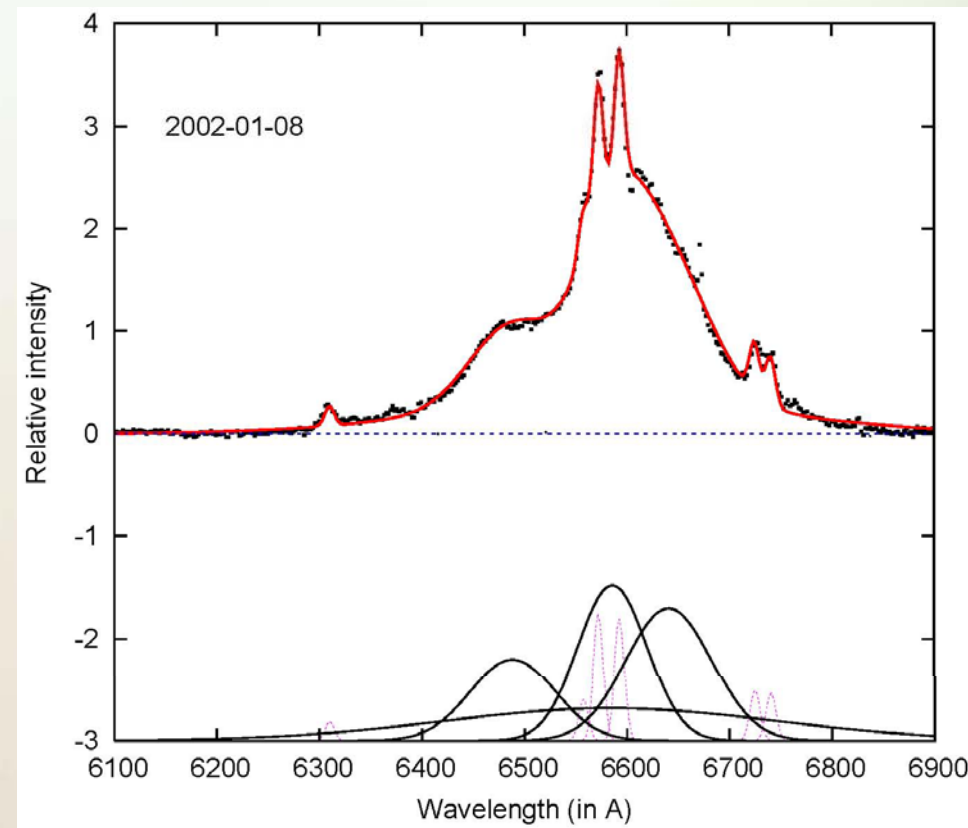
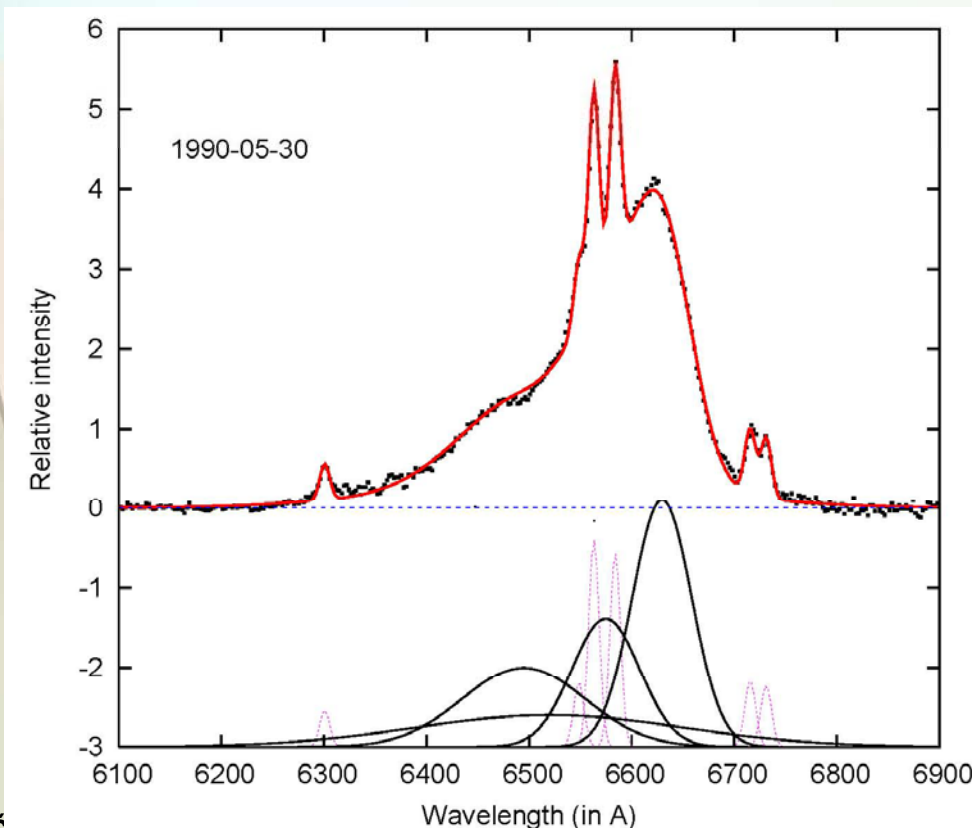
- mnogo posmatran objekat - VLBI kalibrator
- GPS radio-izvor (Stanghellini et al. 1997), ali klasifikovan kao i CSO (Kellermann et al. 1998; Stanghellini et al. 2001)
- modeli radio-mlazeva (SSA ili FFA):
 $\beta \approx 0.33c$ i $\theta \approx 33^\circ$;
radio-aktivnost
samo 92 god!
(Xie et al. 2005)

VLBA slika na 15GHz
(Kellermann et al. 1998)



Mrk 668 – optički podaci

- dekompozicija na Gausijane širokih linija iz perioda od **18 godina** (podaci dobijeni od M. Eracleous; poslednje 2 god sa GHAO 2.1-m teleskopom, Meksiko)
 - izdvojene samo široke linije
 - mereni pomeraji plavog i crvenog pika
 - mereni relativni fluksovi linija (normalizovani na [SII] lines)



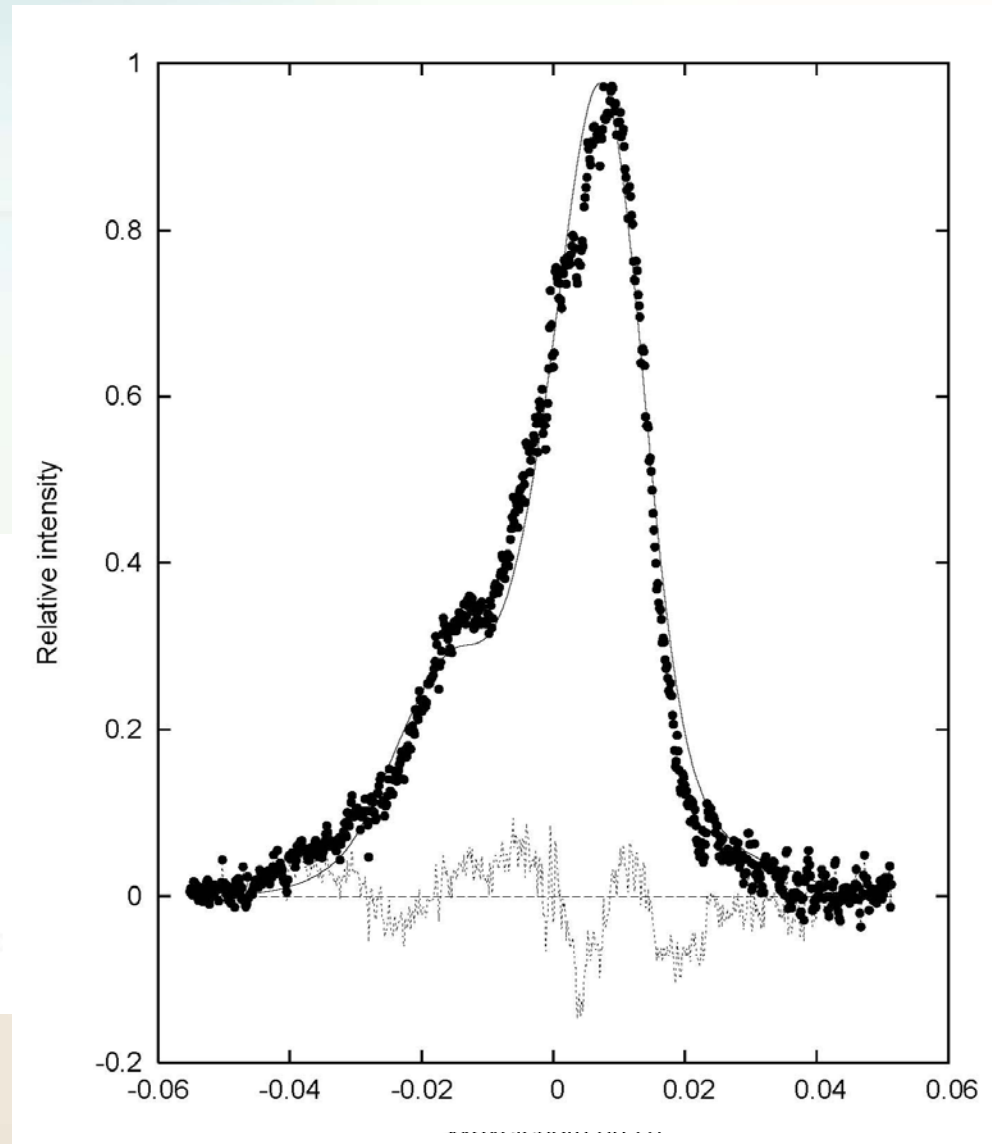
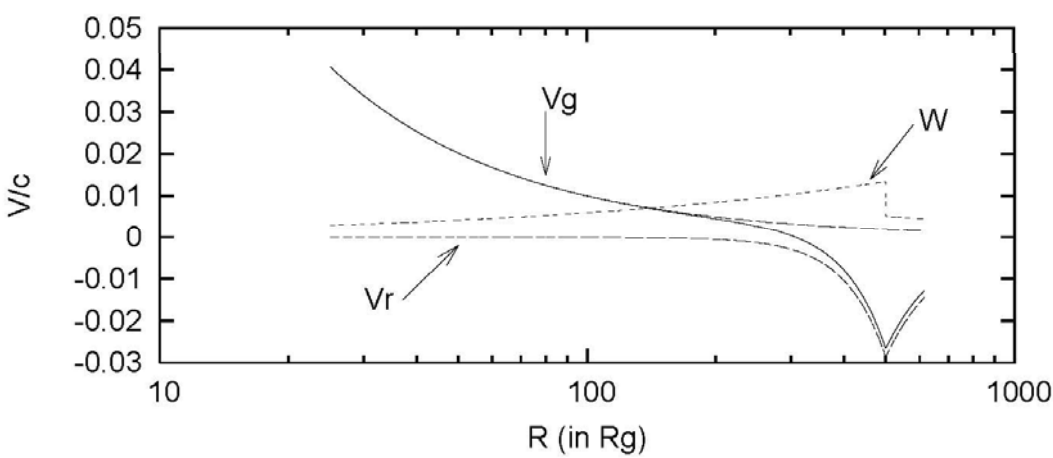
Mrk 668 – model izbacivanja

- parameteri modela:

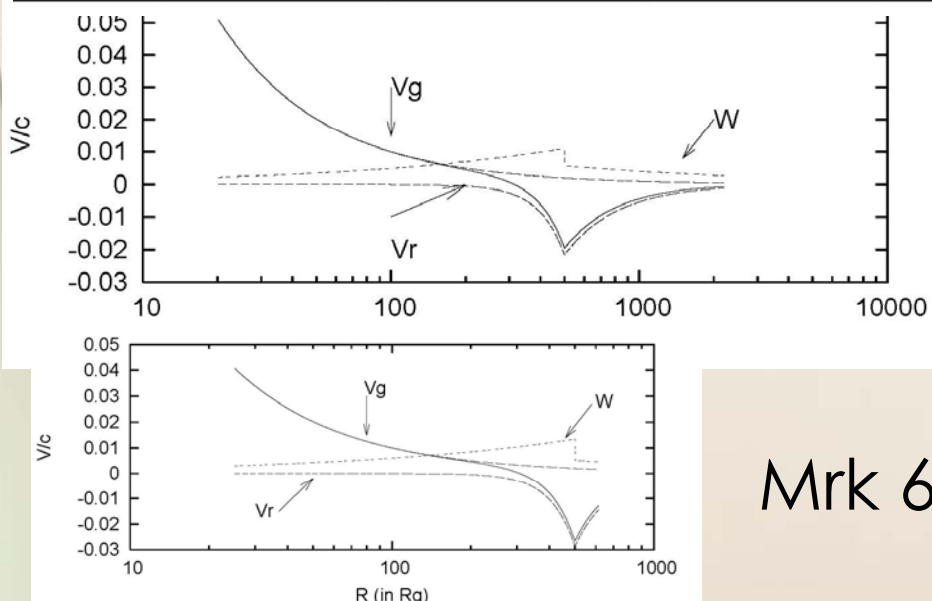
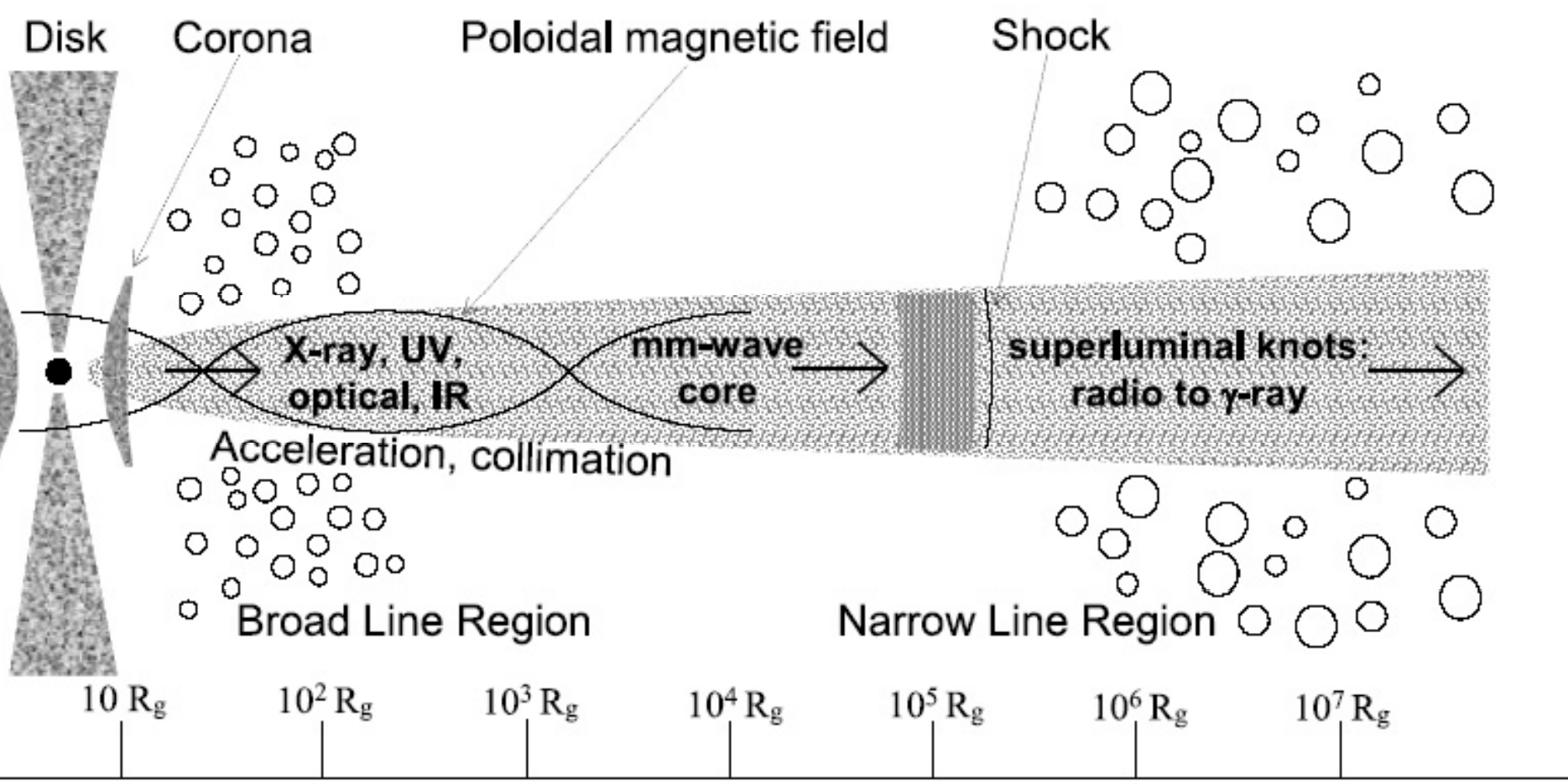
$$R_{inn} = 25 R_g; R_{out} = 615 R_g;$$

$$R_a = 500 R_g; R_e = 190 R_g;$$

$$W_0/\lambda = 0.0083$$



(Ilić et al. u pripremi)

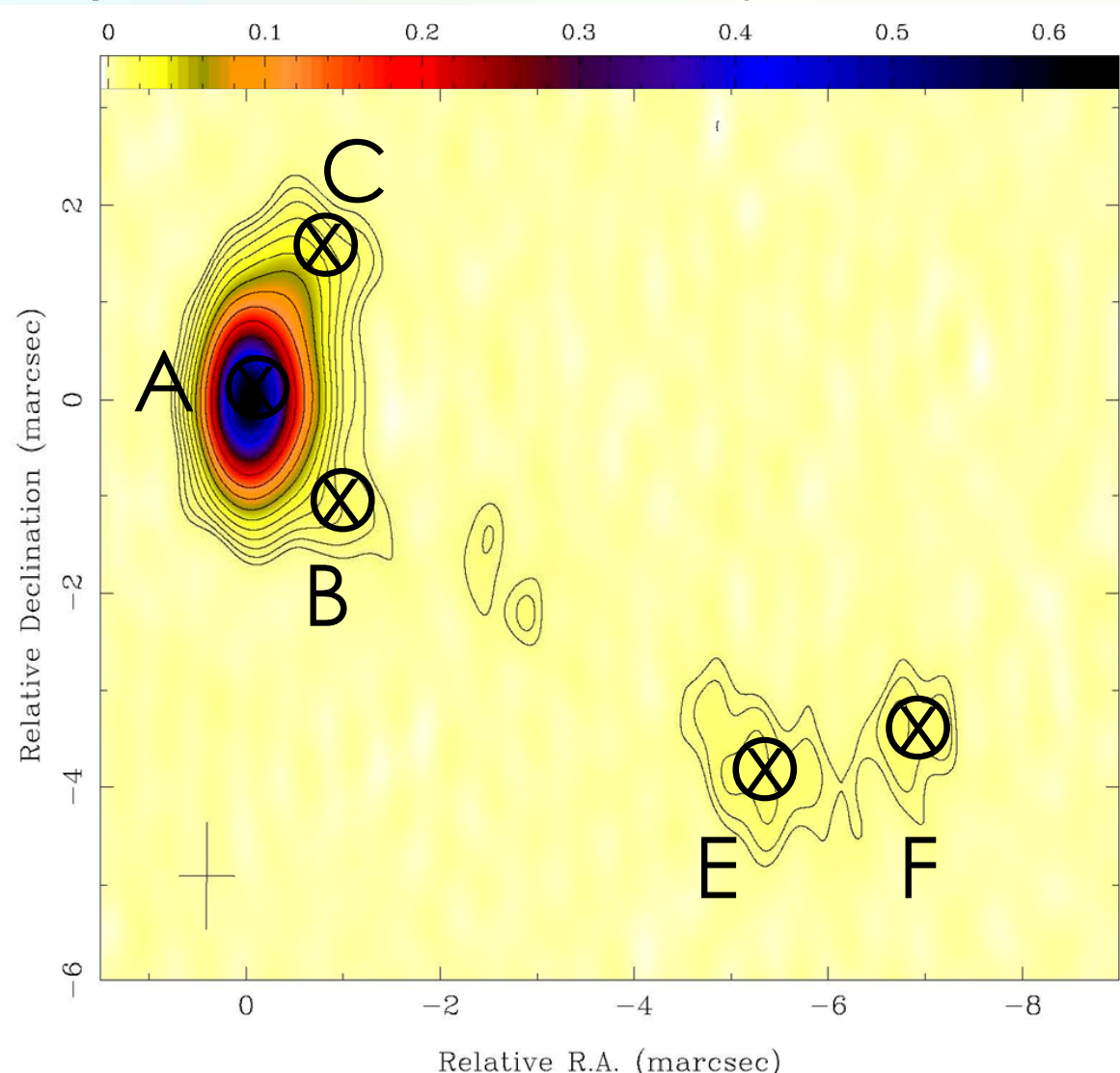


NGC 4151

Mrk 668

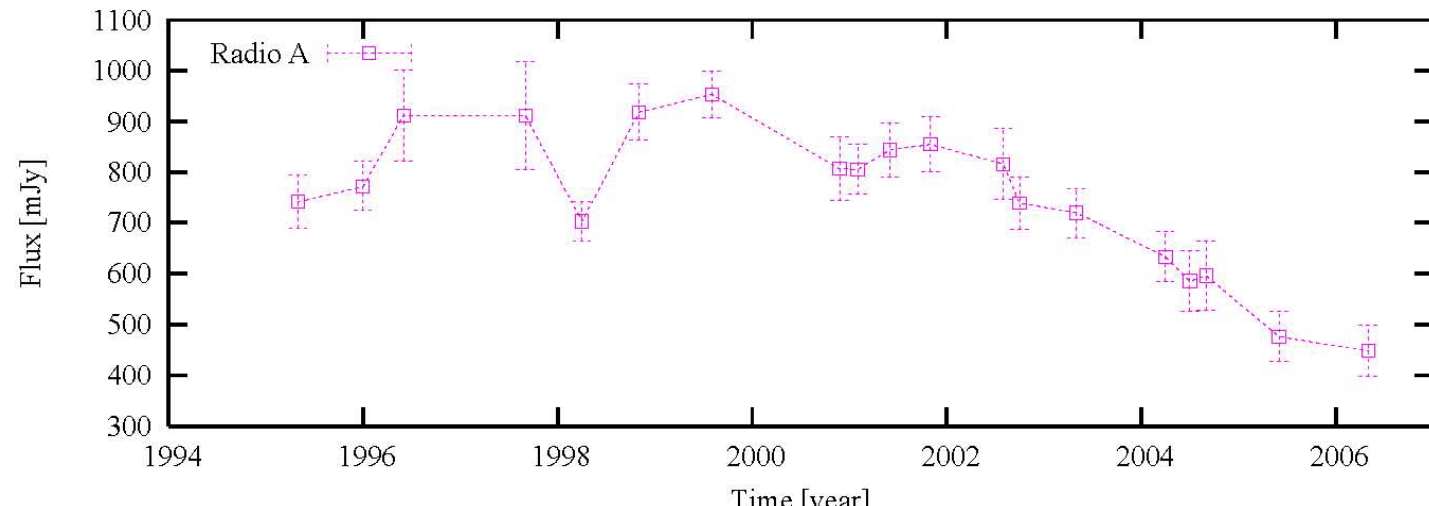
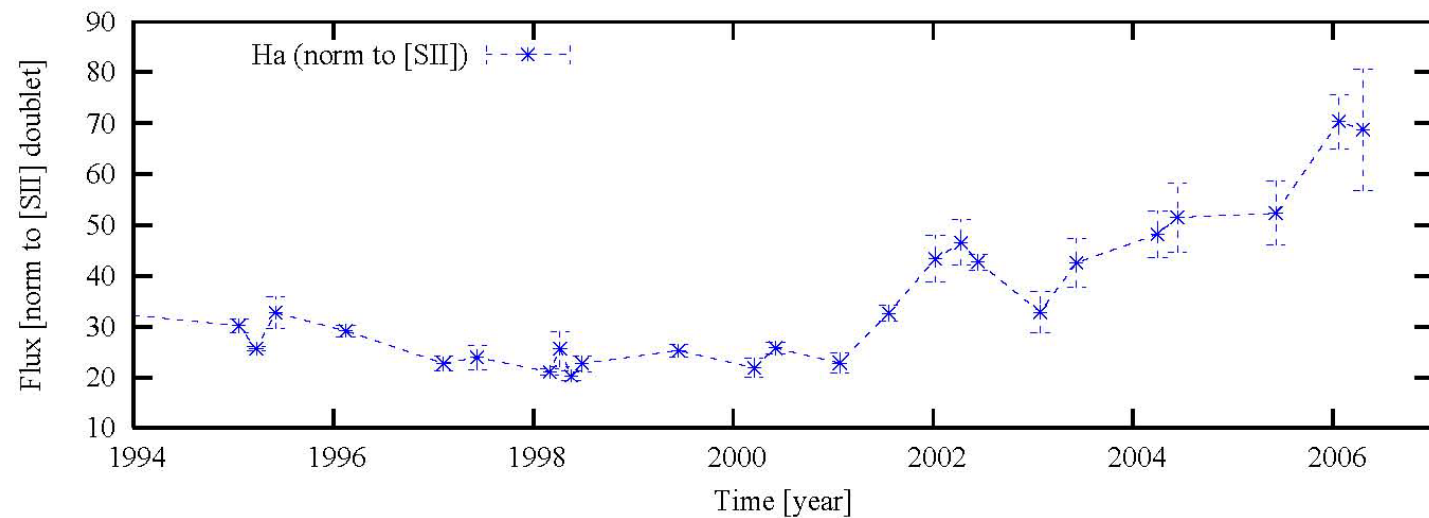
Mrk 668 – radio podaci

- razlaganje na komponente radio-mlaza dimenzija parseka (VLBA posmatranja 1995–2006)
- 2cm
MOJAVE
pregled neba
- A-komp: jezgro?
(León-Tavares et al. – u pripremi)



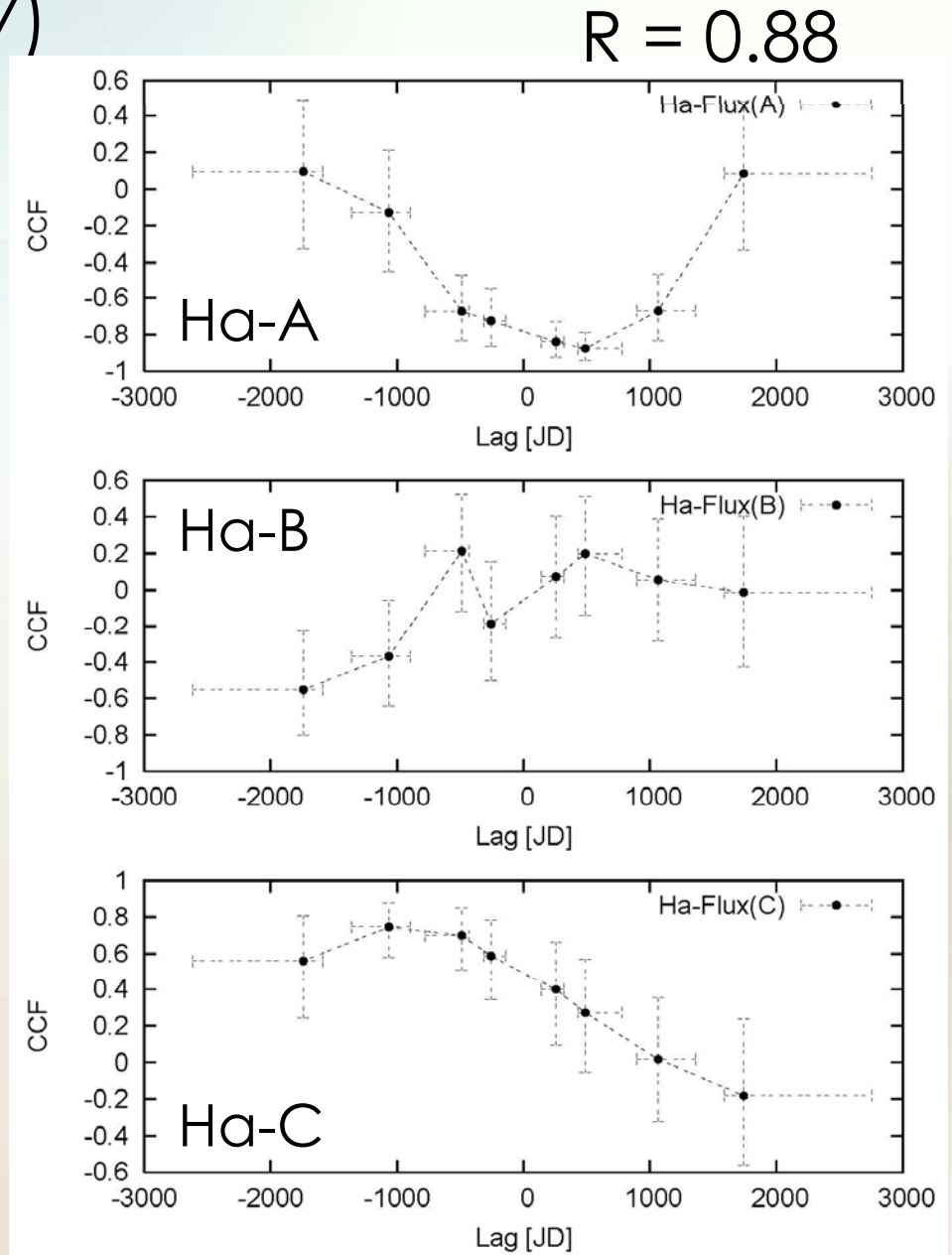
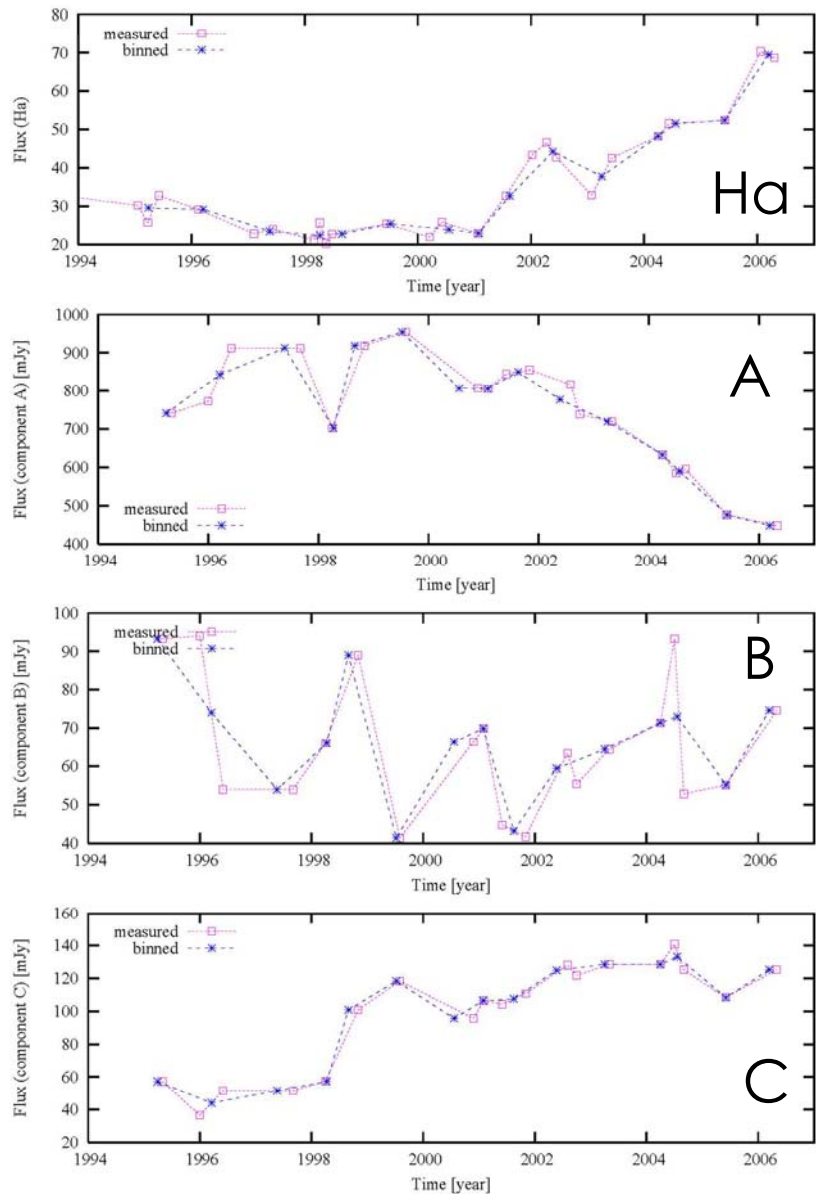
Mrk 668 – opt vs. radio

- krive sjaja Ha emisione linije i radio-komponente A



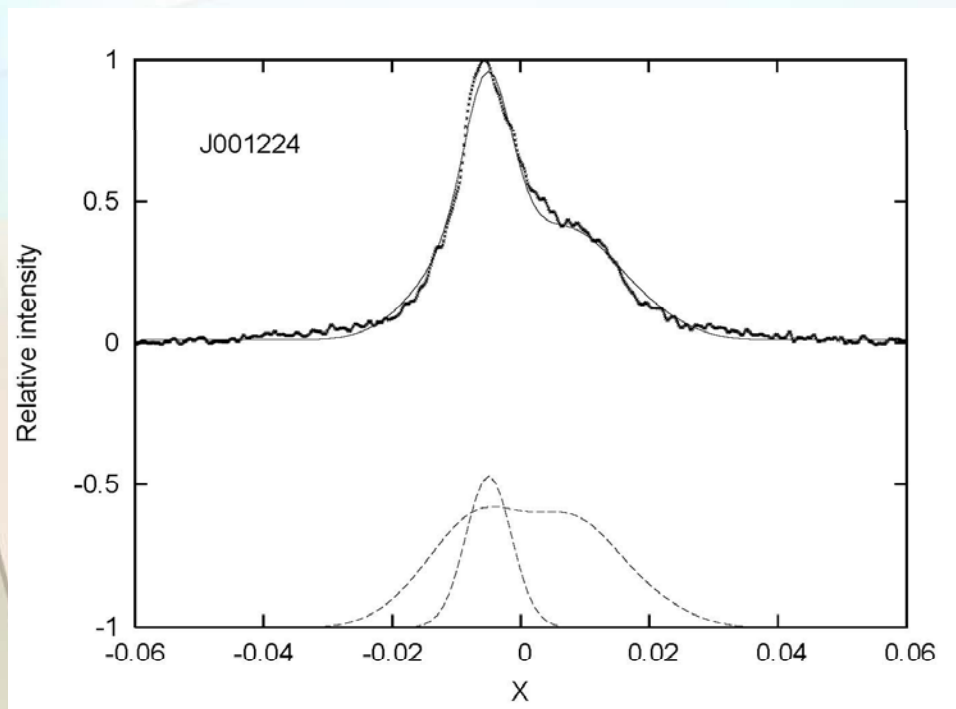
Cross-Correlation

- ZDCF (Alexander 1997)



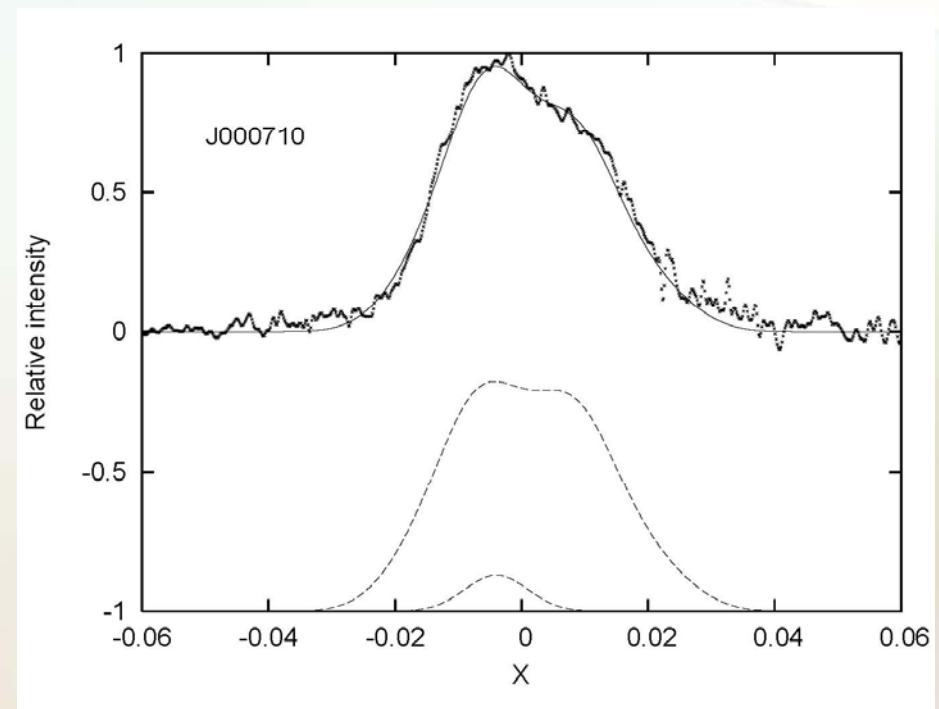
AGJ sa linijama sa dva pika

- 30 objekata sa linijama sa dva pika iz SDSS (Strateva et al. 2003) koji su pokriveni sa FIRST VLA pregledom neba
- model: disk + izbacivanje
- cilj: disk vs. radio-karakteristike



J001224-102226

$i=35^\circ$; $R_{\text{inn}}=550R_g$; $R_{\text{out}}=6100R_g$;
 $q=1.95$; $V_{\text{ran}}=1500$; $V_{\text{out}}=-1500 \text{ km/s}$



J000710+005329:

$i=35^\circ$; $R_{\text{inn}}=470R_g$; $R_{\text{out}}=6000R_g$;
 $q=1.85$; $V_{\text{ran}}=2100$; $V_{\text{out}}=-1200 \text{ km/s}$

Zaključci & budući rad

- kod nekoliko AGJ, BLR (ili jedan njen deo) se objašnjava izbacivanjem materije (e.g. 3c390.3, Mrk 668)
- plazma u BLR može biti delimično jonizovana od strane relativističkog džeta(e.g. NGC 4151)
- ispitati moguću vezu između linija & radio-emisije u radio-jakim (slabim?) objektima
 - kandidati: NGC 4151, Mrk 668, 3c 390.3, 3c 120, SDSS radio AGJ sa linijama sa dva pika, ...)

Studijski boravak na
Max-Planck Institutu je podržala
Alexander von Humboldt Fondacija



Hvala Vam na pažnji!